

九州大学 正員 村上 正
 " 正員 〇会田 忠義

一横構を有し、対傾構が半径方向に存在する立体曲線トラスを対象として、節々の鉛直たわみを求めるための弾性荷重を考察したものである。すなわち直線バリのモールの定理に相当する関係を曲りバリによって見出し、これを仮想仕事の原理を用いて立体曲線トラスに適用し、目的の弾性荷重を求めることができた。

曲りバリ(EI_y, GI_T)の断面力(M_T, M_y, Q)と外力(P)との関係式、および曲げモーメント(M_y)、ネジリモーメント(M_T)、鉛直たわみ(W)、ネジリ角(φ)、の間の関係式は次の通りである。

$$\left. \begin{aligned} \frac{dQ}{r_0 d\theta} &= -P \\ M_y - \frac{dM_T}{d\theta} &= 0 \\ \frac{dM_y}{d\theta} + M_T &= QR_0 \end{aligned} \right\} \dots (1)$$

$$\left. \begin{aligned} \frac{d^2 W}{r_0^2 d\theta^2} - \frac{\varphi}{r_0} &= -\frac{M_y}{EI_y} \\ \frac{dW}{r_0^2 d\theta} + \frac{d\varphi}{r_0 d\theta} &= \frac{M_T}{GI_T} \end{aligned} \right\} \dots (2)$$

上式から

$$\frac{d^2 M_y}{d\theta^2} + M_y = -r_0^2 P \dots (3)$$

$$\frac{d^2 W}{d\theta^2} + W = -r_0^2 \left(\frac{M_y}{EI_y} - \frac{1}{r_0} \int_0^\theta \frac{M_T}{GI_T} r_0 d\theta \right) \dots (4)$$

式(3)(4)において M_y, W の境界条件は単純曲りバリにおいてほぼ相一致し、片持曲りバリにおいては互いに逆になる。すなわち曲線バリでも直線バリにおけるモールの定理と同じ関係が成立するのであって、この場合には弾性荷重として $\left(\frac{M_y}{EI_y} - \frac{1}{r_0} \int_0^\theta \frac{M_T}{GI_T} r_0 d\theta \right)$ を用いるべきことが知られる。

以上の関係は図-1の立体曲線トラスに適用できるのである。いま式(5)および(6)で表わした仮想荷重を、それぞれ図-2および図-3のように確かめて見る。

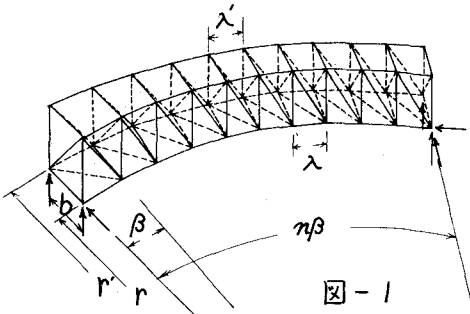


図-1

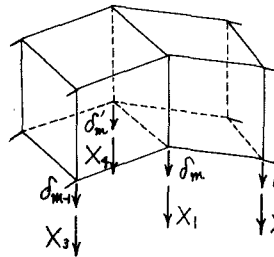


図-2

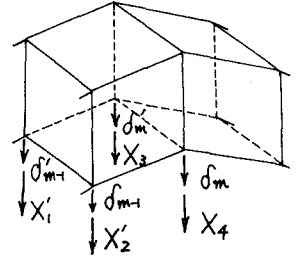


図-3

$$X_1 = -\frac{2}{\lambda} - \frac{\beta}{b}, \quad X_2 = X_3 = \frac{1}{\lambda}, \quad X_4 = \frac{\beta}{b} \dots (5)$$

$$X'_1 = \frac{1}{b\lambda} + \frac{1}{r\lambda}, \quad X'_2 = -\left(\frac{1}{b\lambda} + \frac{1}{r\lambda}\right), \quad X'_3 = -\frac{1}{b\lambda}, \quad X'_4 = \frac{1}{b\lambda} \dots (6)$$

仮定仕事の原理より次の関係が導かれる。

$$\frac{\delta_{m+1} - \delta_m}{\lambda} - \frac{\delta_m - \delta_{m-1}}{\lambda} - \frac{\lambda}{r} p_m = \lambda F_m(M_0) \quad \dots (7)$$

$$\frac{1}{r} (\delta_m - \delta_{m-1}) + (p_m - p_{m-1}) = \lambda k_m(M_0) \quad \dots (8)$$

ただし(記号 $F_m(M_0)$, $k_m(M_0)$)は仮定内力仕事を表わす。 $p_m = \frac{1}{b} (\delta_m - \delta_{m-1})$ である。
式(7), (8)より結局、

$$\frac{\delta_{m+1} - \delta_m}{\lambda} - \frac{\delta_m - \delta_{m-1}}{\lambda} + \frac{\lambda}{r^2} \delta_m = \lambda \left\{ F_m(M_0) + \frac{\lambda}{r} \sum_{i=1}^m k_i(M_0) \right\} \quad \dots (9)$$

式(7), (8), (9)と式(2), (4)と比較して $-\lambda \left\{ F_m(M_0) + \frac{\lambda}{r} \sum_{i=1}^m k_i(M_0) \right\}$ を弾性荷重として採用してよいことがわかる。これを半径 r , 中心角 α/β の内側主ゲタトラスと同一手法の「変位曲リケツ」に集中荷重として作用させ曲げモーメントを求めるとはより正確なものが求るのである。

また、外側主ゲタトラスのたわみについては仮定荷重

$$X_1 = -\frac{Z}{\lambda} + \frac{\beta}{b}, \quad X_2 = X_3 = \frac{1}{\lambda}, \quad X_4 = -\frac{\beta}{b} \quad \dots (10)$$

$$X'_1 = \frac{1}{r\lambda} - \frac{1}{b\lambda}, \quad X'_2 = -\frac{1}{r\lambda} + \frac{1}{b\lambda}, \quad X'_3 = \frac{1}{b\lambda}, \quad X'_4 = -\frac{1}{b\lambda} \quad \dots (11)$$

を考へ、同様の手續によつて弾性荷重が求められ、これを半径 r , 中心角 α/β の「変位曲リケツ」に作用させ曲げモーメントを求めればよいことは上と同じである。

図-1のような10パネルのトラスを考へる。主ゲタの曲率半径は内側50m, 外側50m, 中心角は $34^\circ 22' 19''$, ゲタ高さ4m, パネル長内側3m, 外側3.18m, である。

このトラスの下部具④に単位荷重が作用したとき、たわみと弾性荷重により求め、これを、仮定仕事の原理による厳密解と比較して、図-4のような結果を得た。

両者は完全一致はしなかったが、荷重載荷具において最大で約6%の誤差を生じた他の具においては2%程度であった。

これは計算過程において多少の近似を行つたことと、 δ の値に依り曲げネジリの影響を考慮しなかったことに因り考へる。

又、弾性荷重は曲げモーメントの項とネジリの項よりなるから、その両方によるたわみが算定できる。

本研究に對して文部省科学研究費が何と支給したことは、ここに断記する。

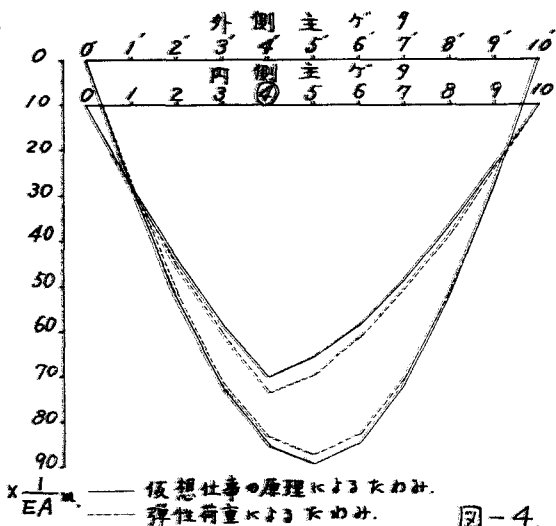


図-4.